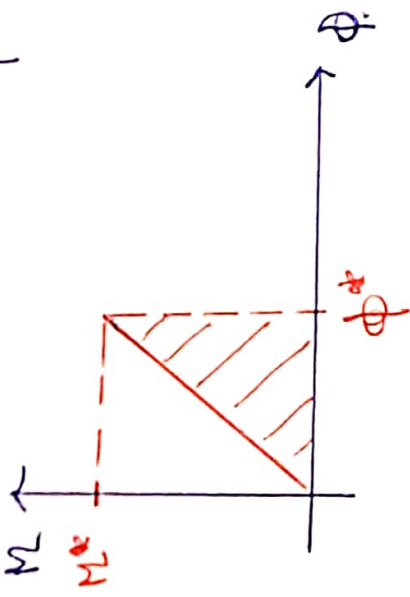




110

ANGULO DE TORSION:

$$d\omega = M \cdot d\phi$$



$$\omega = \int d\omega = \int M d\phi$$

$$M = k \cdot \phi \quad \rightarrow \quad \text{si } \phi = \phi^* \rightarrow M = M^*$$

$$\phi = \frac{M}{k}$$

$$M = \int M d\phi = \int k \phi d\phi = \frac{1}{2} k \phi^2$$

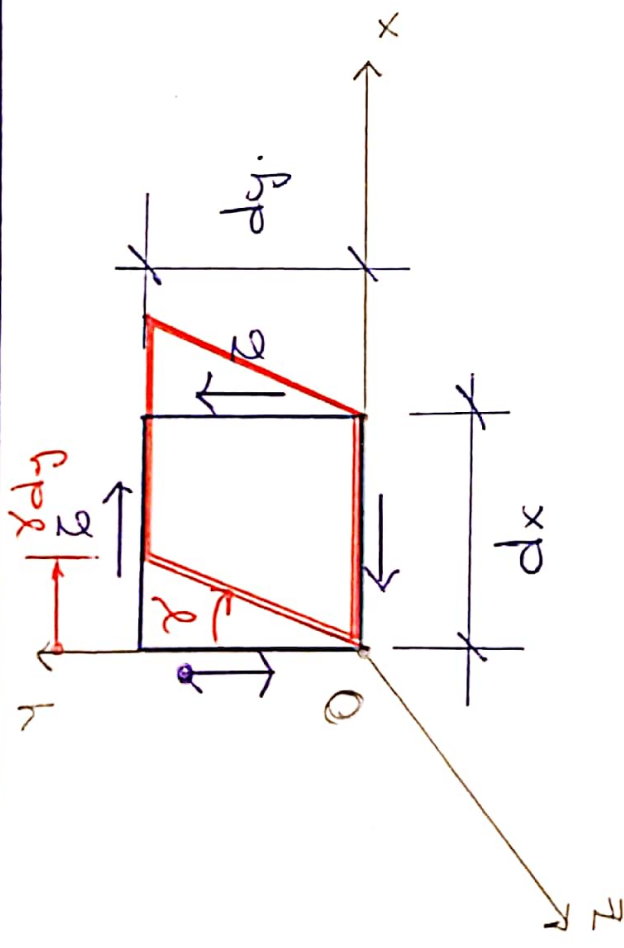
$$\omega = \frac{1}{2} \frac{k M^2}{k^2} = \frac{1}{2} \frac{M^2}{k} \rightarrow \underline{\underline{M^* = \frac{1}{2} k \phi^2}}$$

TRESADO DE LAS FIBRAS EXTERIORES

$$\omega = \frac{1}{2} \frac{k M^2}{k^2} = \frac{1}{2} \frac{M^2}{k}$$

$$\underline{\underline{M^* = \frac{1}{2} k \phi^2}}$$

ENERGIA INTENSA DE DEFORAMACION:



$$dU_i = \frac{1}{2} \bar{\epsilon} \gamma \cdot \frac{dx dy dz}{dv}$$

$$U_{ii} = \int_V dU_i = \int_V \frac{1}{2} \bar{\epsilon} \gamma dv.$$

$$\bar{\epsilon} = G\gamma. \quad \gamma = \frac{\bar{\epsilon}}{G}$$

$$U_{ii} = \int_V \frac{1}{2} \frac{\bar{\epsilon}^2}{G} dv.$$

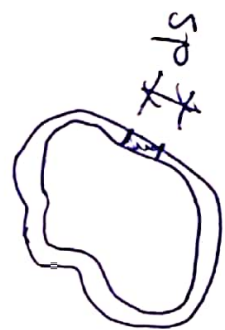
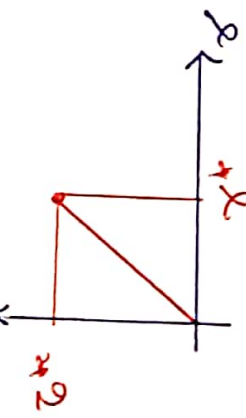
$$dF = \bar{\epsilon} \cdot dx dz.$$

$$\frac{1}{2} M \phi = \int_V \frac{1}{2} \frac{\bar{\epsilon}^2}{G} dv.$$

• Relación lineal entre tensiones y defecaciones.

$$dU_i = \frac{1}{2} [\bar{\epsilon} dx dz] \gamma dy.$$

$$dV = \underbrace{1}_{dx} \cdot e(s) \cdot ds$$



$$\bar{\epsilon}^2 = \frac{h\tau}{2\sigma e} \rightarrow \bar{\epsilon}^2 = \frac{h\tau^2}{4\sigma^2 e^2} e^2$$

1º Aproximación:

$$\phi(x) = \frac{M_T(x)}{4\pi^2 G} + \frac{\Delta S_1}{e}$$

2º Aproximación:

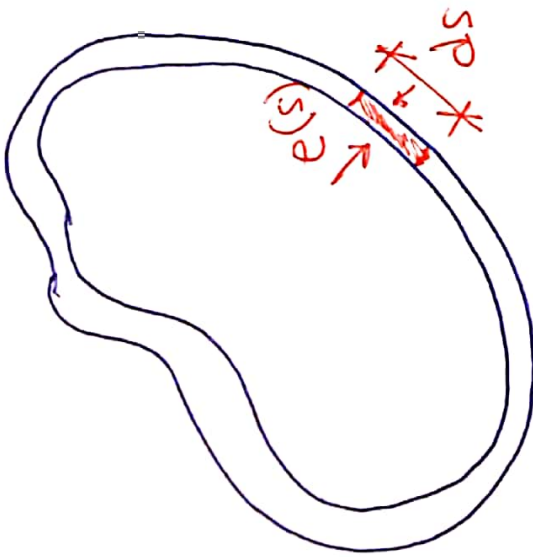
$$\phi(x) = \frac{M_T(x)}{4\pi^2 G} + \sum_{i=1}^n \frac{\Delta S_i}{e m_i}$$

3º Aproximación: $\Delta S_i = c \cdot e$

$$\phi(x) = \frac{M_T(x)}{4\pi^2 G} + \Delta S \sum_{i=1}^n \frac{1}{e m_i}$$

S: Longitudes de los segmentos

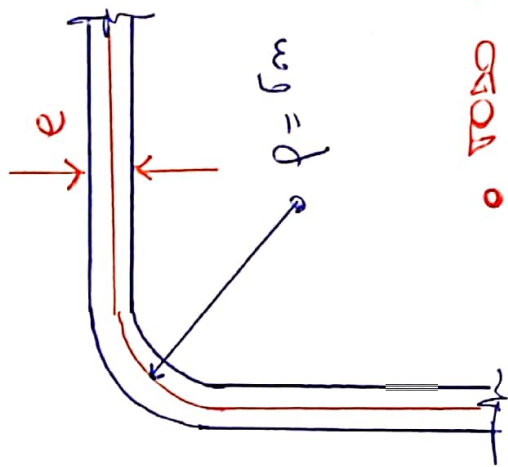
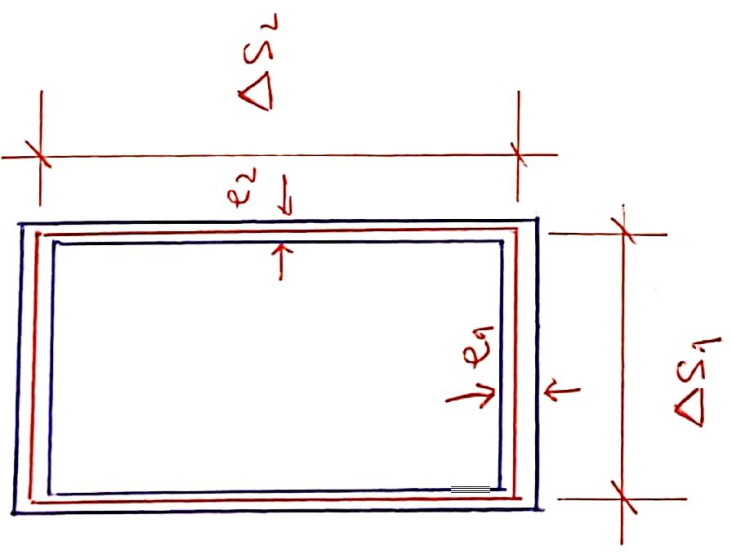
Línea media.



$$\frac{1}{2} M_T \phi = \int_C \frac{1}{2} \frac{M_T^2}{4\pi^2 G} \frac{1}{e} e^s ds$$

$$\frac{1}{2} M_T \phi = \frac{1}{2} \frac{M_T^2}{4\pi^2 G} \int \frac{ds}{e(s)}$$

$$\phi(x) = \frac{M_T(x)}{4\pi^2 G} \cdot \frac{s}{e}$$

4) 10

• TODO EN DESARROLLO

vacio si:

$$\rho > \rho$$

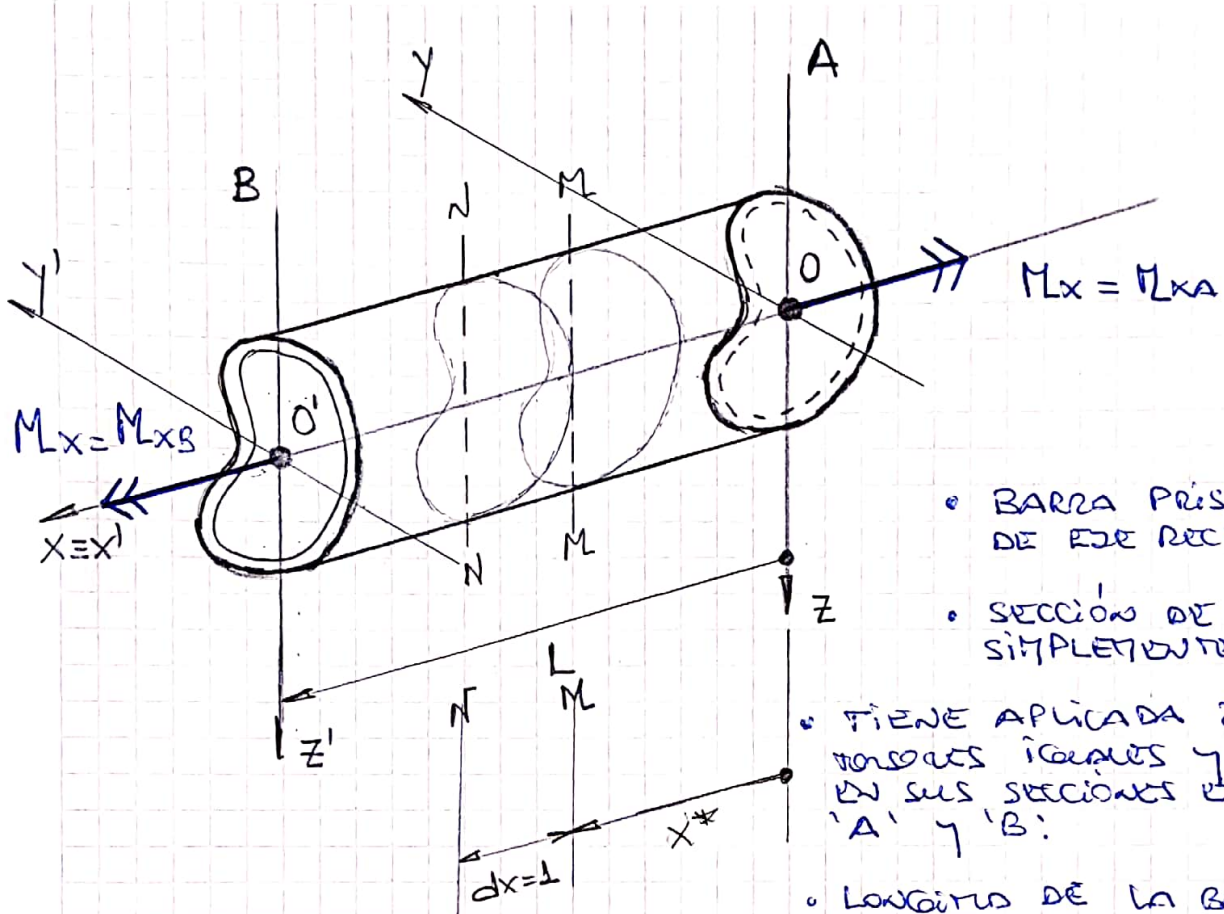
$\Sigma \rho = \rho$

ES VACIO.

$$\Sigma \rho = \rho$$

$$\frac{\Delta S_1}{e_1} + \frac{\Delta S_2}{e_2} + \frac{\Delta S_1}{e_1} + \frac{\Delta S_2}{e_2}$$

$$\sum_{i=1}^r \frac{\Delta S_i}{e_i} = \frac{\Delta S}{e}$$



- LA BARRA ESTÁ EN EQUILIBRIO POR LAS FUERZAS EXTERNAS M_{xA} Y M_{xB} , TAL QUE CUMPLE

$$M_{xA} + M_{xB} = 0.$$

- SE CONSIDERA UNA RESONANCIA ELEMENTAL DE LONGITUD $dx = 1$.
- LAS SECCIONES EXTRÍMAS SE DENOMINAN:

SECCIÓN 'M': $\text{ON } x = x^* = x_M$

SECCIÓN 'N': $\text{ON } x = x^* + dx = x_N$.

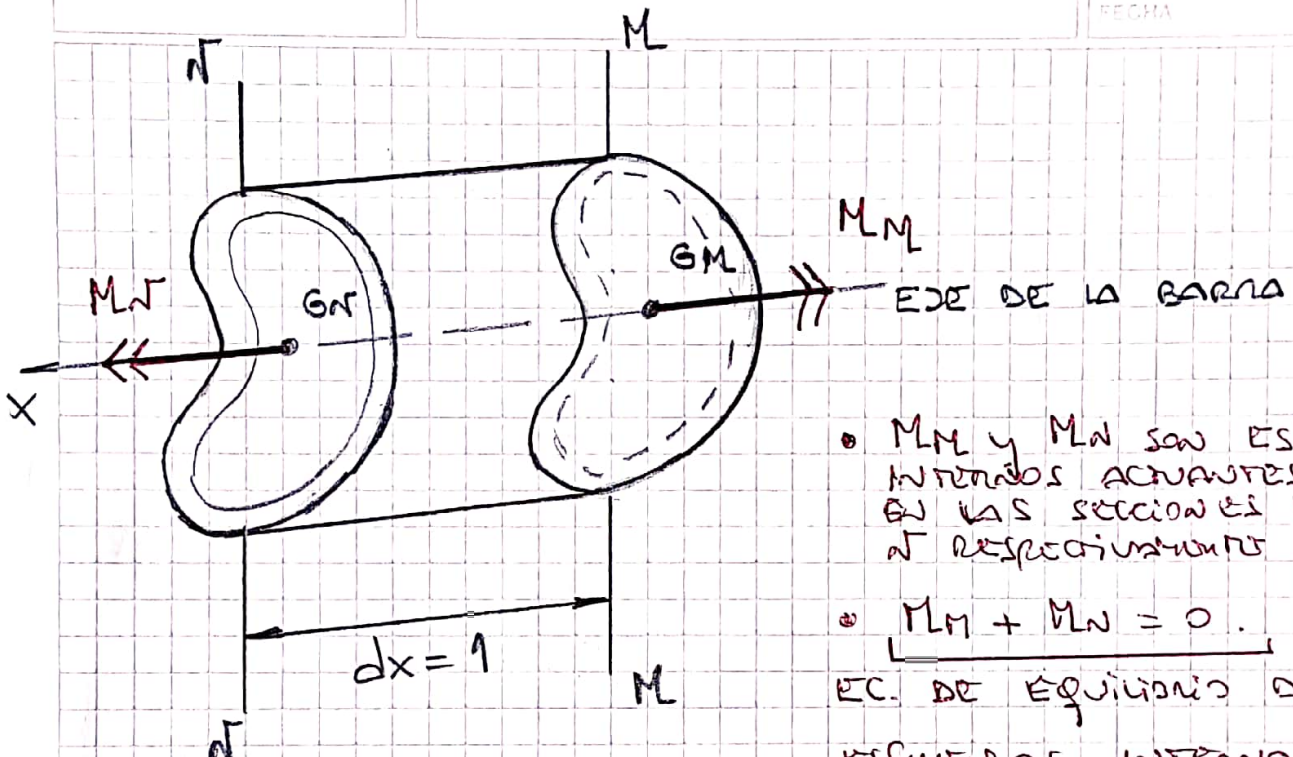
Luego:

$$x_N = x_M + dx = x_M + 1.$$

Por lo tanto:

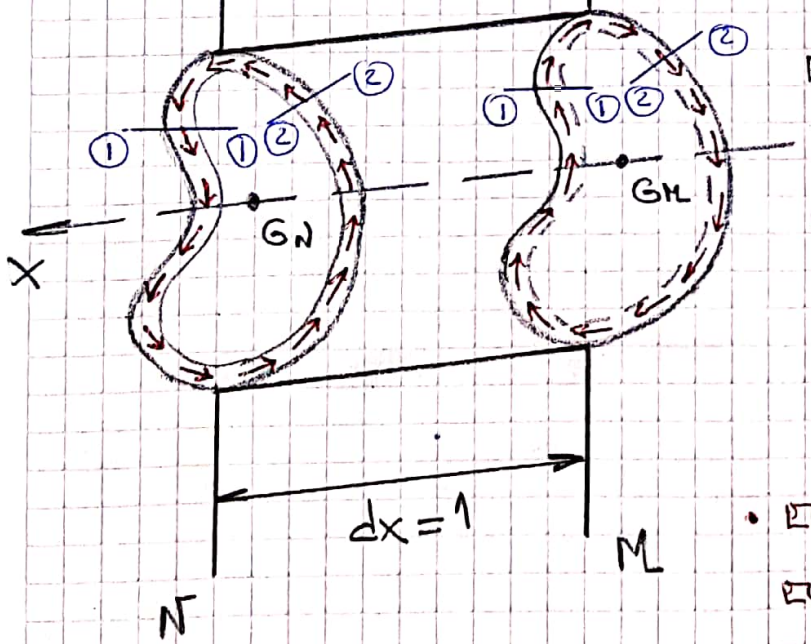
$$dx = 1.$$

→ EL EQUILIBRIO QUEDA SATISFECHO ENTRE FUERZAS EXTERNAS.



ESQUEMAS EQUIVALENTES ENTRE SOLICITACIONES INTERNAS Y TENSIONES

M (cumplimiento de las Eqs de Equivalencia \rightarrow 4º EC)

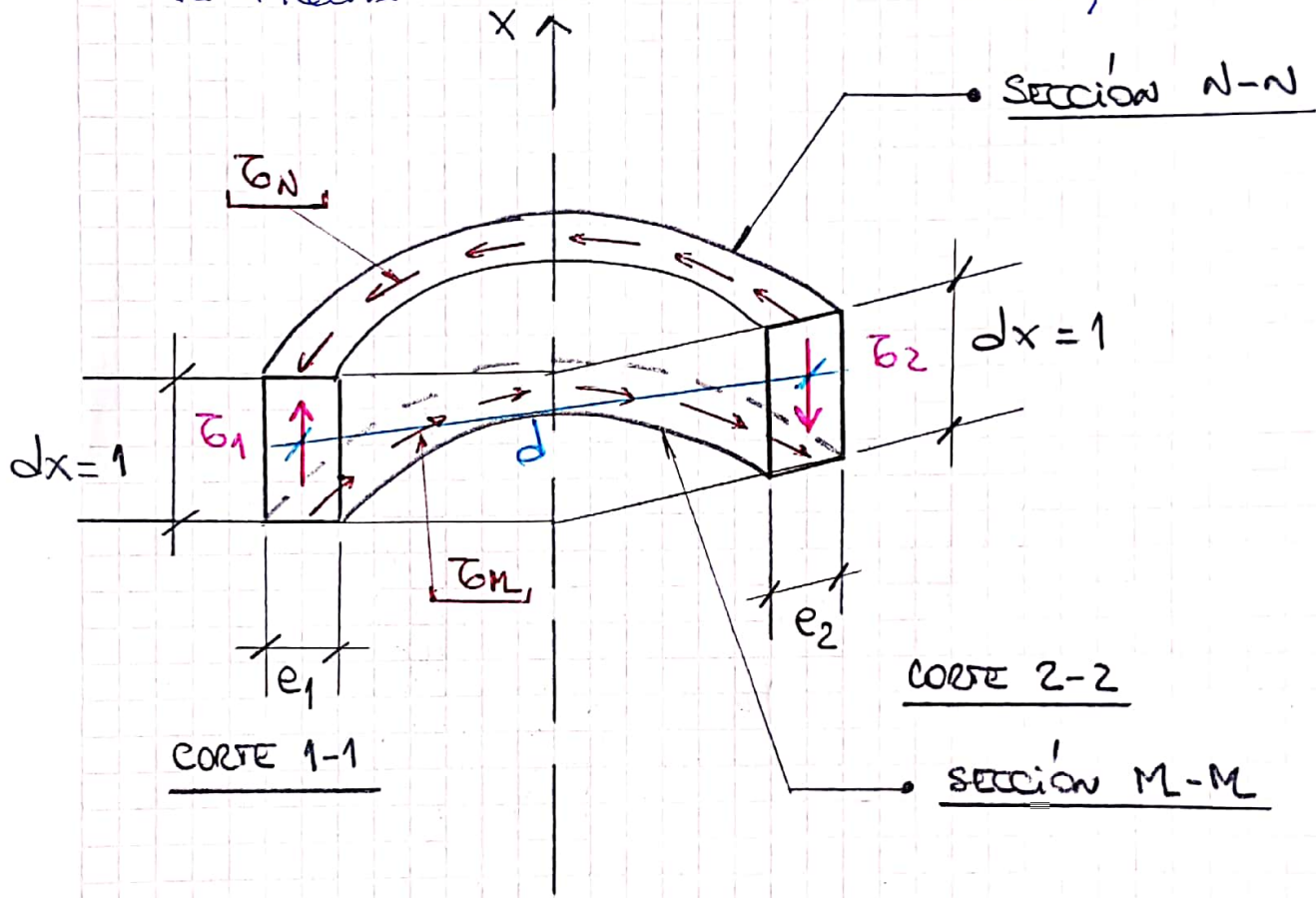


EJE DE LA BARRA

- ON ESTE ESQUEMA SE REPRESENTAN LAS DISTRIBUCIONES TANGENCIALES EQUIVALENTES A LOS ACTUANTES EN LAS SECCIONES 'M' Y 'N' A LOS MOMENTOS M_M Y M_N .

- EN RESUMIDAS SE REPRESENTAN "FUSOS DE TENSIONES"
- $\sigma = \frac{M}{I} \cdot z$ para z la距ancia perpendicular a la sección
- TODOS!

- Practicando 2 cortes en las secciones 'M-M' y 'N-N' en los momentos '1-1' y '2-2', y rotaciones las fijas para mayor visualización, quedan:



2º y 3º Ecs de ~~equilibrio~~ equilibrio.

$$\boxed{0 = \int_s \tau_N(s) \cdot e_N(s) \cdot ds - \int_s \tau_M(s) \cdot e_M(s) \cdot ds}$$

QyZ RESULTANTE DE LAS τ EN EL PLANO YZ IDAS POR
 CORTE EN EL PLANO YZ EN EL PLANO YZ POR
 DEL PLANO N DEL PLANO N PLANO M.
 F_{Yz}^N F_{Yz}^M

• Se satisfacen.

$$F_{Yz}^N - F_{Yz}^M = 0.$$

1º EC. DE EQUILIBRIO:

$$\sum F_x = 0$$

FUERZAS INTENAS

$$\underbrace{N_N}_{=0} + \underbrace{N_M}_{=0} = 0$$

$$G_1 \cdot e_1 \cdot 1 - G_2 \cdot e_2 \cdot 1 = V_1 - V_2 = 0.$$

• SE SATISFACE.

2º EC. DE EQUILIBRIO:

- SE TOTA MOMENTOS RESPECTO AL CUALQUIER PUNTO DEL PLANO DE LA SECCIÓN 'N' DE LAS GN.
- IDEM PERO RESPECTO DEL PLANO DE LA SECCIÓN 'M' DE LAS GM. DE TAL MODO QUE AMBOS PUNTOS ESTAN ALINADOS EN UNA MISMA PARALELA AL EJE DE LA BARRA.

$$M_X^N - M_X^M = 0 = \int_S G_N(s) \cdot e_N(s) \cdot r \cdot ds - \int_S G_M(s) \cdot e_M(s) \cdot r \cdot ds$$

• SE SATISFACE.

S^e y G^o EC. DE EQUILIBRIO.

→ vector momento constante
en el plano 'yz':

$$\sum M_{yz} = 0 = \int_S \tau_n \cdot e_n(s) \cdot l \cdot ds - \tau_1 \cdot e_1 \cdot l \cdot d$$

$$F_{yz}^N \cdot l$$

$$V_1 \cdot d$$

$$F_{yz}^M \cdot l$$

||

$$V_2 \cdot d$$

$$\int_S \tau_m \cdot e_m(s) \cdot l \cdot ds$$

$$\tau_2 \cdot e_2 \cdot l \cdot d$$

→ RESUMEN:

- SE HAN PLANTEADO 4 TIPOS DE EQUILIBRIO:

↳ I) Equilibrio de fuerzas externas para la sombra DAD de la estructura, con M_x^A y M_x^B ;

↳ II) Equilibrio de fuerzas internas para la sombra 'dx' con M_M y M_N ;

↳ III) Equilibrio de las fuerzas equivalentes de los momentos M_M y M_N originados por las tensiones $\sigma_m(s)$ y $\sigma_n(s)$;

↳ IV) Equilibrio de las fuerzas ordinarias para evitar los cortes $M-N-1$ y 2.

TORSIÓN EN BARRAS DE SECCIÓN TRANSVERSAL NO CIRCULAR

01 – INTORDUCCIÓN:

La determinación de las variables, tensiones y desplazamientos y deformaciones, en este tipo de barras con secciones no circulares es un problema “bastante” más complejo que los vistos hasta ahora;

No puede ser estudiado en la forma y metodología que hemos venido estudiando: SA. SF y ST en secciones circulares;

Repasando esta metodología, la misma era la siguiente:

- I. Se realizaba un ensayo del elemento y de la solicitudación a ser estudiado;
- II. Se observaba cómo era la deformación y se sacaban conclusiones de la misma, las cuales se transformaban en Hipótesis de Trabajo;
- III. De las conclusiones se observaban cómo era la variabilidad de las deformaciones;
- IV. Luego, mediante la Ley de Hooke, se relacionaban con las tensiones;
- V. Se utilizaban las Ecs de Equivalencia para poder establecer las relaciones entre Tensiones y Esfuerzos Internos.

Estos problemas son abordados por la “Teoría Matemática de la Elasticidad” y por Teorías “Ad-Hoc”.

Estas teorías escapan o se encuentran fuera del alcance de nuestra asignatura. Por lo tanto, no serán estudiadas.

Solamente se verán las conclusiones de dichos estudios y algunos aspectos considerados como “importantes” e “imprescindibles” para el entendimiento del comportamiento.

Acá, de un ensayo se observa que:

- i.- Las secciones NO se mantienen planas después de la deformación por torsión, por lo tanto, se alabejan;
- ii.- Las secciones NO mantienen su forma;

5/10

Teoría de Saint-Venant:

- SUCCESSIONES NO CIRCULARES.

- BASTANTE MÁS COMPLICADO.

- $\left\{ \begin{array}{l} SA \\ SF \end{array} \right.$

ST (cargas, bocas).

RESOLUCIÓN:

↳ II) TEORÍA HARMÓNICA DE LA TRANSICIÓN.

↳ III) TEORÍAS "AD HOC"

DE UN ESTADO:

II) LAS SUCCESSIONES NO SE MANIFIESTAN PLANAS →

$$\frac{M_T(x)}{I_T} \cdot z .$$

$$SA \rightarrow f_x(x) = \frac{M_T(x)}{I_T}$$

$$SF \rightarrow$$

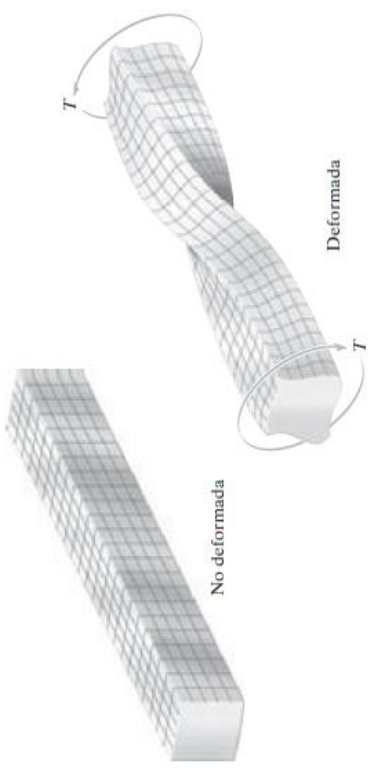
III) LAS SUCCESSIONES NO PLANAS →

$$f_{x,i} = \frac{M_T(x)}{I_P} \cdot r$$

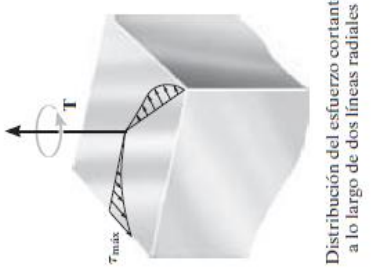
$$ST \rightarrow$$

02 – CONSIDERACIONES – PARTICULARIDADES – OBSERVACIONES Y CONCLUSIONES DE LOS ESTUDIOS:

- I.- Deberá estudiarse y cuantificarse no sólo los giros relativos entre las secciones, sino también, las distorsiones locales para cada sección. Precisamente, las distorsiones locales caracterizan el alabeo. De esta última consideración se desprende que también deberá estudiarse el alabeo relativo entre las secciones;
- II.- En barras de secciones cuadradas, las secciones que giran 90° ó 180° suelen mantener su forma;
- III.- En consonancia con la precisión anterior, se observa que para el resto de las secciones, se podrá presentar que algunas líneas se mantengan rectas después de la deformación por torsión;
- IV.- Para el resto de las líneas que pueden trazarse en cualquier sección, las mismas se terminan curvando cuando la barra se deforma;
- V.- Las distorsiones no tienen una relación lineal entre ellas, y por consiguiente, si es aplicable la “Ley de Hooke”, lo que es lo mismo que decir que el material se encuentra trabajando dentro del período elástico, las tensiones tampoco poseen una relación lineal entre ellas;
- VI.- Para una sección transversal de una barra cuadrada o rectangular, es un error considerar que las tensiones tangenciales varían en forma lineal con su distancia al eje de la misma;
- VII.- Las tensiones tangenciales no van a depender de un solo parámetro (r : radio, por ejemplo); sino que van a depender de las 2 coordenadas de un punto de la sección (y_P ; z_P);
- VIII.- Las tensiones en el contorno de una sección cualquiera van a tener la dirección de la tangente a la misma;
- IX.- En las secciones transversales cuadradas o rectangulares, en los vértices de las mismas las tensiones tangenciales son nulas.



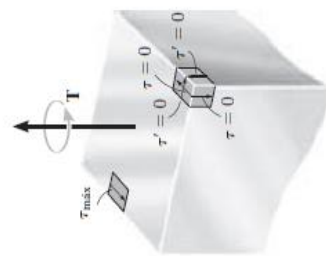
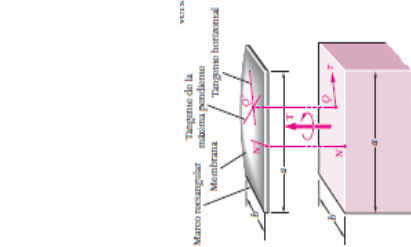
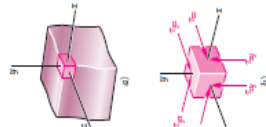
No deformada
Deformada



Distribución del esfuerzo cortante
a lo largo de dos líneas radiales



Alabeo del área
de la sección transversal

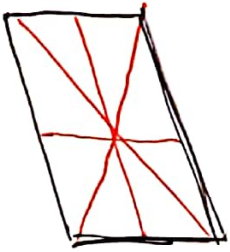


6/110

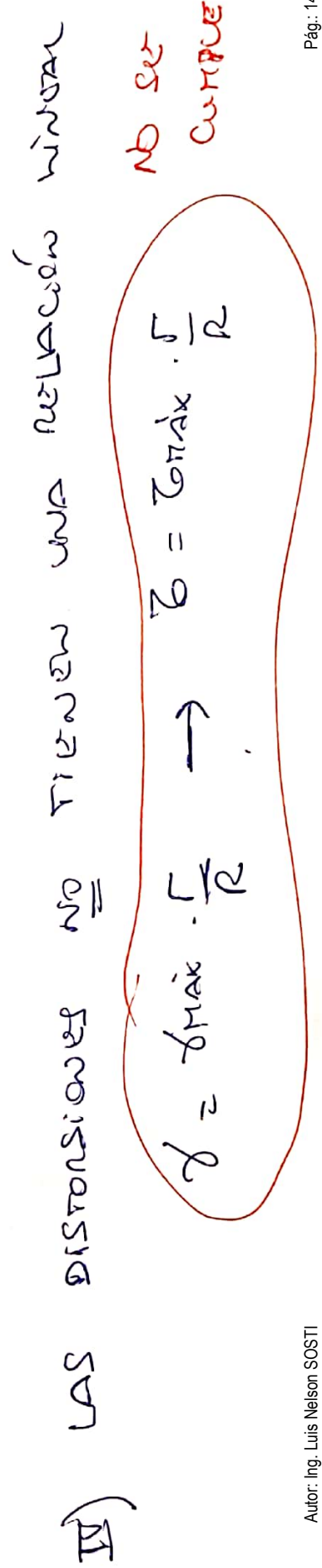
Algunas Particularidades:

- I) Se estudian : giros relativos y distorsiones
locales.

- II) Se presentan líneas que se mantienen rectas.



- III) El resto de las líneas se tornan curvadas cuando separam su forma.



MO

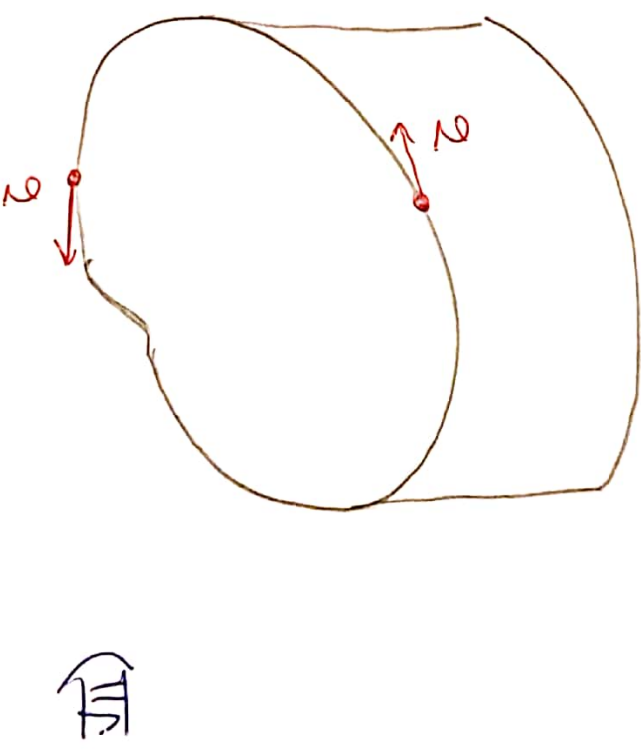


FIUBA - EI-84.03-2020-2C - 03.04-CLT-ST-03 - ST-03 - 2020-11-10

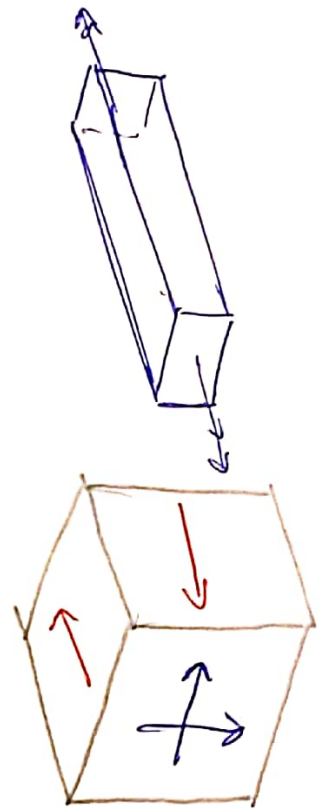
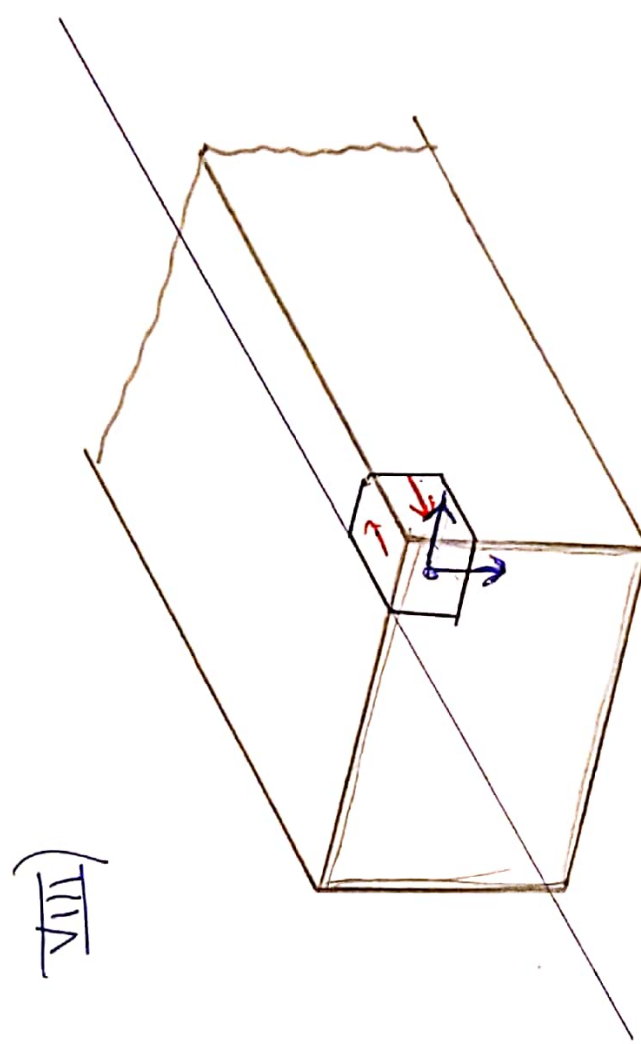
2) LAS \bar{z} ' TRAMPOLAS VANIAO LINDAMENTE.
LAS \bar{z}' NO SEAN

POB LO NOMBRES DE z_1 , z_2 .

DE VARIAS DIF POSICIONES →



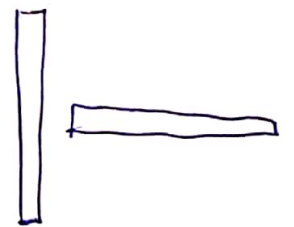
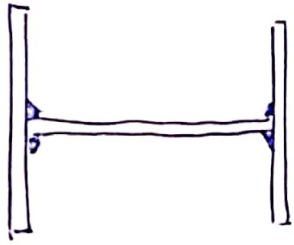
(VIII)



\bar{z} TANG. AL CON NUEVO.



8) No



$$\sigma_a = \sigma_{max} = \frac{M_r(x)}{\alpha \cdot Q \cdot b^2}$$

$$\alpha = f(a/b)$$

$$\sigma_b = \eta \cdot \sigma_{max} = \eta \cdot \sigma_a$$

$$\eta = f(a/b).$$

$$\eta(x) = \frac{M_r(x)}{G \cdot f \cdot a \cdot b^3}$$

$$\eta = f(a/b)$$

Sección recta en curva:

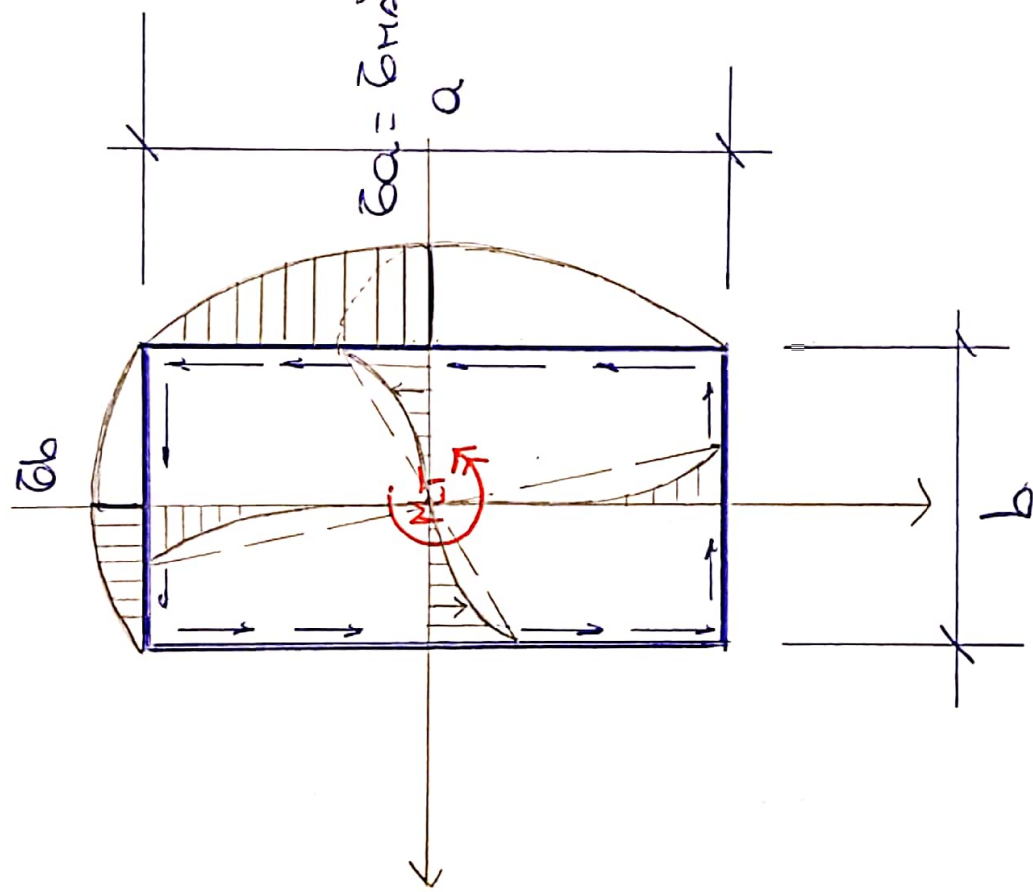
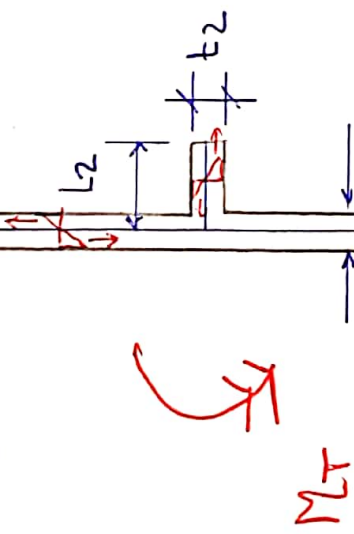


Tabla 2

a/b	1	1.5	1.75	2	2.5	3	4	6	8	10	∞
α	0,208	0,231	0,239	0,246	0,258	0,267	0,282	0,299	0,307	0,313	0,333
β	0,441	0,196	0,214	0,229	0,249	0,263	0,281	0,299	0,307	0,313	0,333
η	1,000	0,859	0,820	0,795	0,766	0,753	0,745	0,743	0,742	0,742	0,742

DETENES ASIMÉTRICOS:

$$\frac{\alpha}{b} \rightarrow \infty \rightarrow \alpha \rightarrow \frac{1}{3}.$$



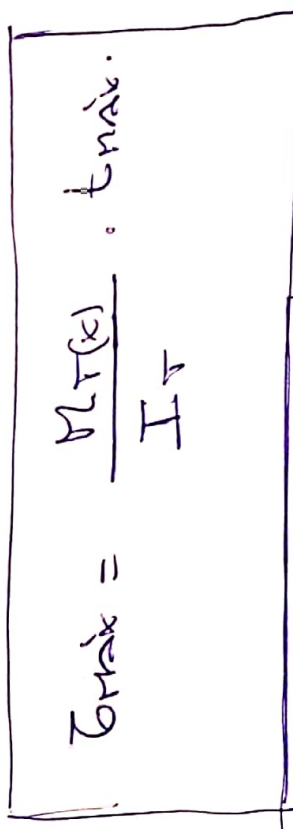
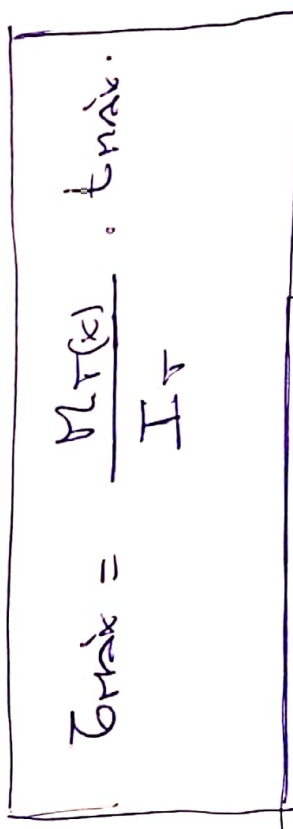
$$\frac{L_i}{t_i} > \infty \rightarrow \alpha_i = 0,333 = \frac{1}{3}.$$

$$T_{ij} = \frac{M_T}{c \sum_{i=1}^n t_i^3} \cdot t_i.$$

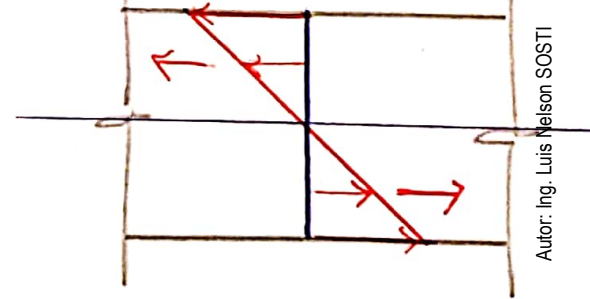
$$T_{ij} = \frac{M_T}{c \sum_{i=1}^n t_i^3} \cdot t_i = \frac{1}{3}.$$

$$T_{ij} = \frac{M_T(x)}{\frac{c}{3} \sum_{i=1}^n t_i^3} \cdot t_i$$

$$M_T = I_T \cdot \text{rotulo de tensão.}$$



$$\phi(x) = \frac{M_T(x)}{G I_T} \cdot L$$



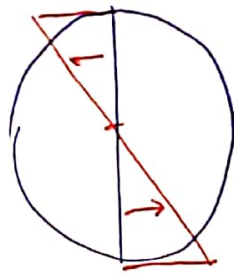
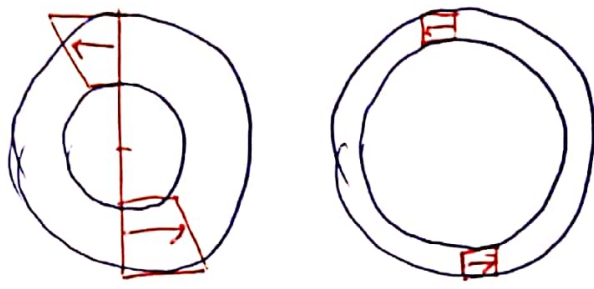
10/10

Tensione

Aerea

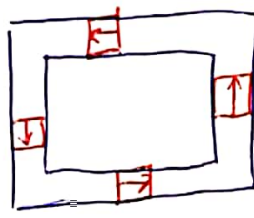
con lente

concavas
y
convexas



Buena

Tensione de
la retina
y pupilla



Saint Jeanne

Conección
retina.
iris.

